

AD 50 F

Elektrische Eigenschaften**Electrical properties****Höchstzulässige Werte****Maximum rated values**

Periodische Vorwärts-Spitzensperrspannung	repetitive peak forward off-state voltage	$t_{vj} = -40^\circ\text{C} \dots t_{vj,\text{max}}$	V_{DRM}	800, 1000	V
Vorwärts-Stoßspitzenspannung	non repetitive peak forward off-state voltage	$t_{vj} = -40^\circ\text{C} \dots t_{vj,\text{max}}$	$V_{\text{DSM}} = V_{\text{DRM}}$	1100, 1200	V
Periodische Rückwärts-Spitzensperrspannung	repetitive peak reverse voltage	$t_{vj} = -40^\circ\text{C} \dots t_{vj,\text{max}}$	V_{RRM}	15	V
Periodische Rückwärts-Spitzensperrspannung nach der Kommutierung	repetitive peak reverse voltage after commutation	$t_{vj} = -40^\circ\text{C} \dots t_{vj,\text{max}}, t_p = 1\ \mu\text{s}$	$V_{\text{RRM(C)}}$	50	V
Durchlaßstrom-Grenzeffektivwert	RMS on-state current	$t_C = 85^\circ\text{C}$	I_{TRMSM}	120	A
Dauergrenzstrom	average on-state current	$t_C = 56^\circ\text{C}$	I_{TAVM}	50	A
Stoßstrom-Grenzwert	surge current	$t_{vj} = 25^\circ\text{C}, t_p = 10\ \mu\text{s}$	I_{TSM}	76	A
Grenzlastintegral	/ i^2dt -value	$t_{vj} = t_{vj,\text{max}}, t_p = 10\ \mu\text{s}$	$\int i^2 dt$	1450	A
Kritische Stromsteilheit	critical rate of rise of on-state current	$t_{vj} = 25^\circ\text{C}, t_p = 10\ \mu\text{s}$	$(di/dt)_{\text{cr}}$	1300	A
Kritische Spannungssteilheit	critical rate of rise of off-state voltage	$v_D \leq 67\%$ V_{DRM} , $f_0 = 50\ \text{Hz}$ $v_L = 10\ \text{V}, i_{GM} = 1\ \text{A}, di_G/dt = 1\ \text{A}/\mu\text{s}$ $t_{vj} = t_{vj,\text{max}}, v_D = 67\%$ V_{DRM} 6. Kennbuchstabe/6th letter C	$(dv/dt)_{\text{cr}}$	10500	A ² s
		6. Kennbuchstabe/6th letter F		8450	A ² s
				120	A/ μs
				500	V/ μs
				1000	V/ μs

Charakteristische Werte**Characteristic values**

Durchlaßspannung	on-state voltage	$t_{vj} = t_{vj,\text{max}}, i_T = 250\ \text{A}$	v_T	max.	2,35 V
Schleusenspannung	threshold voltage	$t_{vj} = t_{vj,\text{max}}$	$V_{T(\text{TO})}$		1,3 V
Ersatzwiderstand	slope resistance	$t_{vj} = t_{vj,\text{max}}$	r_T		3,75 m Ω
Zündstrom	gate trigger current	$t_{vj} = 25^\circ\text{C}, v_D = 12\ \text{V}$	I_{GT}	max.	250 mA
Zündspannung	gate trigger voltage	$t_{vj} = 25^\circ\text{C}, v_D = 12\ \text{V}$	V_{GT}	max.	2,2 V
Nicht zündender Steuerstrom	gate non trigger current	$t_{vj} = t_{vj,\text{max}}, v_D = 12\ \text{V}$	I_{GO}	max.	10 mA
Nicht zündende Steuerspannung	gate non trigger voltage	$t_{vj} = t_{vj,\text{max}}, v_D = 0,5\ V_{\text{DRM}}$	V_{GD}	max.	0,25 V
Haltestrom	holding current	$t_{vj} = 25^\circ\text{C}, v_D = 12\ \text{V}, R_A = 10\ \Omega$	I_H	max.	250 mA
Einraststrom	latching current	$t_{vj} = 25^\circ\text{C}, v_D = 12\ \text{V}, R_{\text{GEK}} \geq 20\ \Omega$ $i_{GM} = 1\ \text{A}, di_G/dt = 1\ \text{A}/\mu\text{s}, t_g = 20\ \mu\text{s}$	I_L	max.	1 A
Vorwärts- und Rückwärts-Sperrstrom	forward off-state and reverse currents	$t_{vj} = t_{vj,\text{max}}, v_D = V_{\text{DRM}}, V_R = V_{\text{RRM}}$	i_D, i_R	max.	25 mA
Zündverzug	gate controlled delay time	$t_{vj} = 25^\circ\text{C}, i_{GM} = 1\ \text{A}, di_G/dt = 1\ \text{A}/\mu\text{s}$	t_{gd}	max.	1,2 μs
Freiwerdezeit	circuit commutated turn-off time	siehe Techn. Erl./see Techn. Inf.	t_q	A:	max. 8 $\mu\text{s}^{1,2)}$
			B:	max.	10 $\mu\text{s}^1)$
			C:	max.	12 $\mu\text{s}^1)$
			D:	max.	15 $\mu\text{s}^1)$
Isolations-Prüfspannung	insulation test voltage	RMS, $f = 50\ \text{Hz}, t = 1\ \text{min}$	V_{ISOL}		2,5 kV

Thermische Eigenschaften**Thermal properties**

Innerer Wärmewiderstand	thermal resistance, junction to case	$\Theta = 180^\circ\text{el}, \sinus:$ pro Modul/per module DC: pro Modul/per module	R_{thJC}	max.	0,225°C/W
		pro Zweig/per arm pro Zweig/per arm		max.	0,45 °C/W
Übergangs-Wärmewiderstand	thermal resistance, case to heatsink	pro Modul/per module pro Zweig/per arm	R_{thCK}	max.	0,215°C/W
				max.	0,43 °C/W
Höchstzul. Sperrschiichttemperatur	max. junction temperature				
Betriebstemperatur	operating temperature				
Lagertemperatur	storage temperature				
			$t_{vj,\text{max}}$		125°C
			$t_{c,\text{op}}$		-40°C ... +125°C
			t_{stg}		-40°C ... +130°C

Mechanische Eigenschaften**Mechanical properties**

Si-Elemente mit Druckkontakt	Si-pellets with pressure contact				AlN
Innere Isolation	internal insulation				
Anzugsdrehmomente	tightening torques				
mechanische Befestigung	mounting torque				
elektrische Anschlüsse	terminal connection torque				
Gewicht	weight	Toleranz/tolerance $\pm 15\%$	$M1$		4 Nm
Kriechstrecke	creepage distance	Toleranz/tolerance + 5%/-10%	$M2$		4 Nm
Schwingfestigkeit	vibration resistance		G		typ. 200 g
Maßbild	outline	$f = 50\ \text{Hz}$			9 mm
					5 · 9,81 m/s ²
					3

Daten der Dioden nach vereinbarter Spezifikation oder auf Anfrage

Data of the diode according to specification or on request

1) mit antiparalleler Diode/with inverse paralleled diode

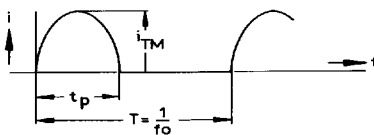
2) $V_{\text{DRM}} \leq 1000\ \text{V}$

Recognized by UNDERWRITERS LABORATORIES INC.

AD 50 F

Bild/Fig. 1, 2, 3
Höchstzulässige Strombelastbarkeit des Thyristors in Abhängigkeit von der Halbschwingungsdauer bei:
sinusförmigem Stromverlauf,
der angegebenen Gehäusetemperatur t_C ,
Vorwärts-Sperrspannung $V_{DM} \leq 0,67 V_{DRM}$,
Freiwerdezeit t_q gemäß 5. Kennbuchstaben,
Spannungssteilheit dV_D/dt gemäß 6. Kennbuchstaben.

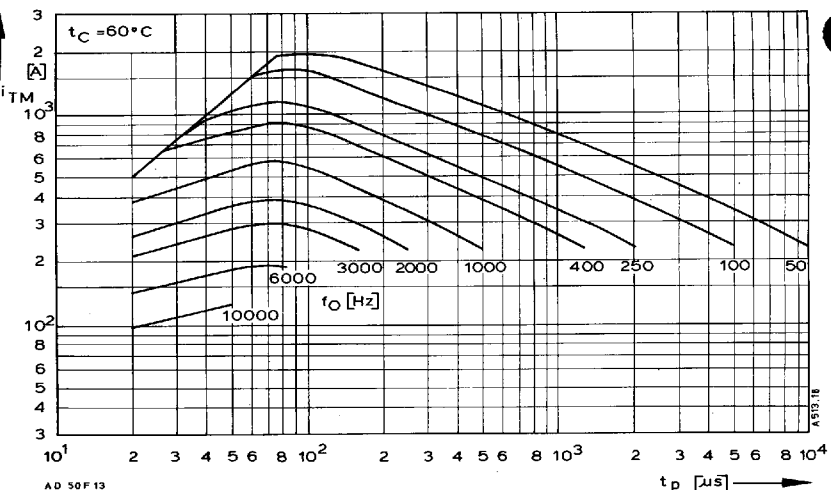
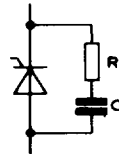
Maximum allowable on-state current of thyristor versus halfwave duration at:
sinusoidal current waveform,
given case temperature t_C ,
forward off-state voltage $V_{DM} \leq 0,67 V_{DRM}$,
circuit commutated turn-off time t_q according to 5th code letter,
rate of rise of voltage dV_D/dt according to 6th code letter.



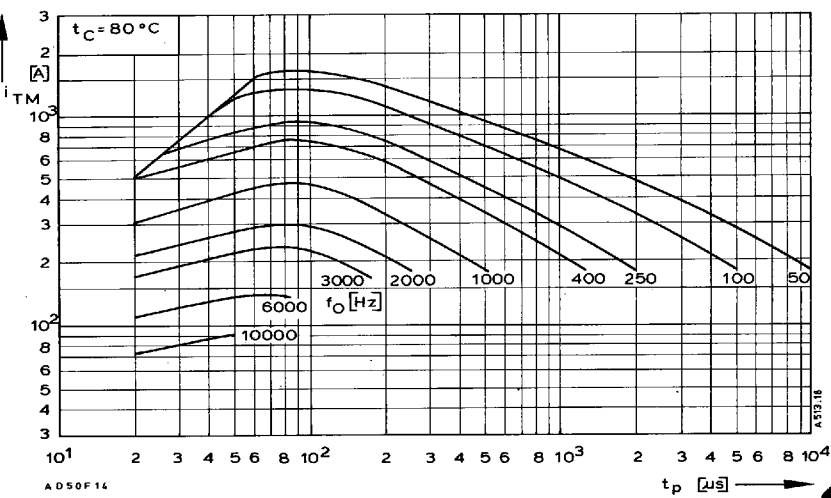
Parameter: Wiederholfrequenz f_0
Repetition rate f_0

Steuergenerator/Pulse generator:
 $V_L = 10 \text{ V}$, $i_G = 1 \text{ A}$, $t_a = 1 \mu\text{s}$

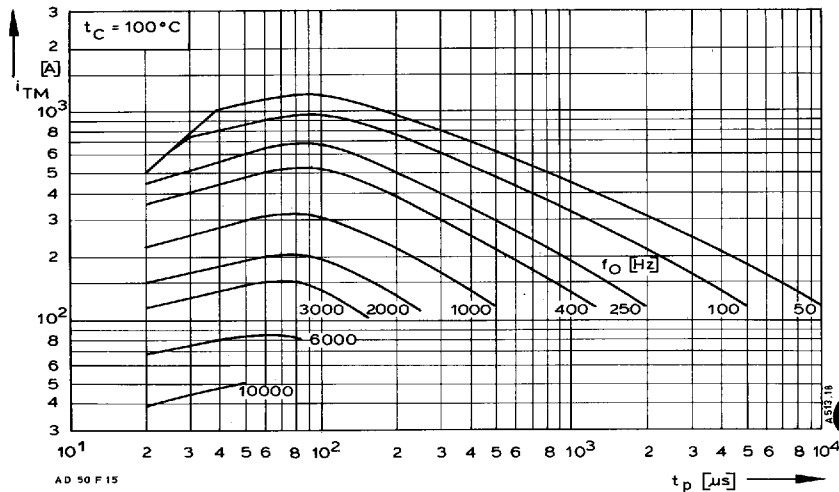
RC-Glied/RC network:
 $R [\Omega] \geq 0,033 \cdot V_{DM} [\text{V}]$
 $C \leq 0,1 \mu\text{F}$



Bild/Fig. 1



Bild/Fig. 2

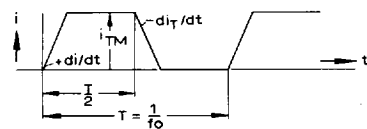


Bild/Fig. 3

AD 50 F

Bild/Fig. 4, 5, 6
Höchstzulässige Strombelastbarkeit des Thyristors in Abhängigkeit von der Stromsteilheit bei:
trapezförmigem Stromverlauf,
der angegebenen Gehäusetemperatur t_C ,
Vorwärts-Sperrspannung $V_{DM} \leq 0,67 V_{DRM}$,
Freiwerdezeit t_q gemäß 5. Kennbuchstaben,
Spannungssteilheit dv_D/dt gemäß 6. Kennbuchstaben.

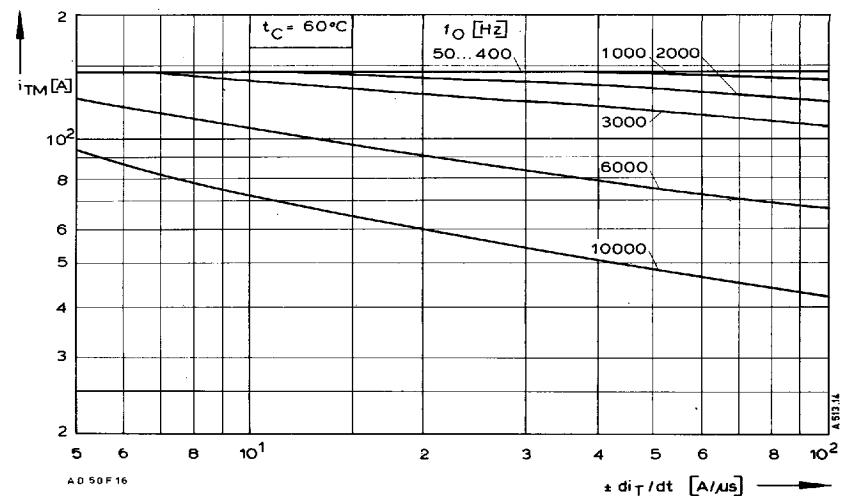
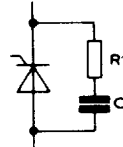
Maximum allowable on-state current of thyristor versus rate of rise of current at:
trapezoidal current waveform,
given case temperature t_C ,
forward off-state voltage $V_{DM} \leq 0,67 V_{DRM}$,
circuit commutated turn-off time t_q according to 5th code letter,
rate of rise of voltage dv_D/dt according to 6th code letter.



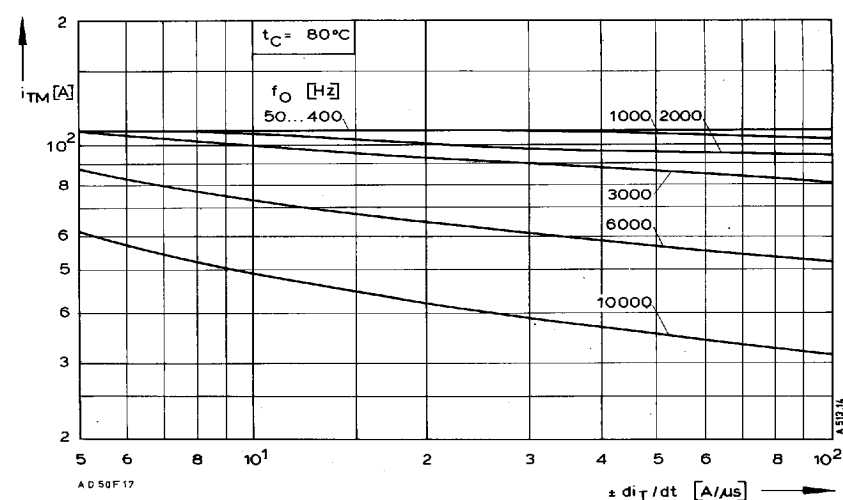
Parameter: Wiederholfrequenz f_0
Repetition rate f_0

Steuergenerator/Pulse generator:
 $V_L = 10 \text{ V}$, $i_G = 1 \text{ A}$, $t_a = 1 \mu\text{s}$

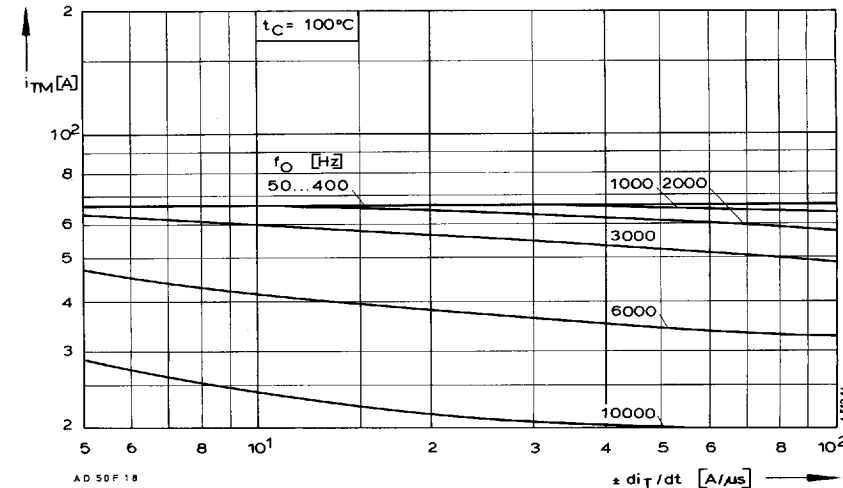
RC-Glied/RC network:
 $R [\Omega] \geq 0,033 \cdot V_{DM} [\text{V}]$
 $C \leq 0,15 \mu\text{F}$



Bild/Fig. 4



Bild/Fig. 5



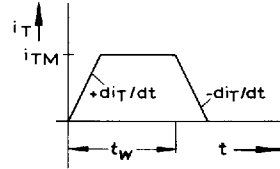
Bild/Fig. 6

AD 50 F

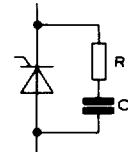
Bild/Fig. 7, 8, 9

Diagramme zur Ermittlung der Gesamtenergie W_{tot} für einen trapezförmigen Durchlaß-Strompuls, für den Thyristor-Zweig bei: der angegebenen Stromsteilheit $\pm di_T/dt$, Vorrwärts-Sperrspannung $v_{\text{DM}} \leq 0.67 \text{ V}_{\text{DM}}$, Rückwärts-Sperrspannung $v_{\text{RM}} \leq 15 \text{ V}$.

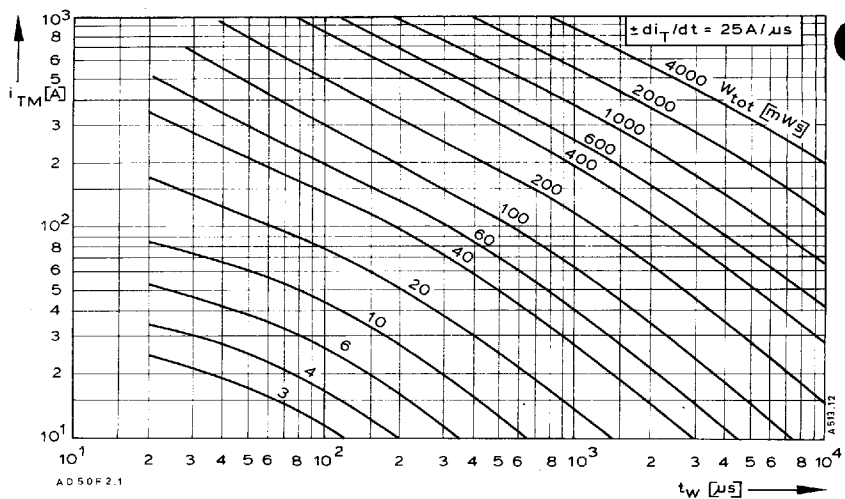
Diagram for the determination of the total energy W_{tot} for a trapezoidal current pulse for thyristor at:
given rate of rise of on-state current $\pm di_T/dt$,
forward off-state voltage $v_{\text{DM}} \leq 0.67 \text{ V}_{\text{DM}}$,
maximum reverse voltage $v_{\text{RM}} \leq 15 \text{ V}$.



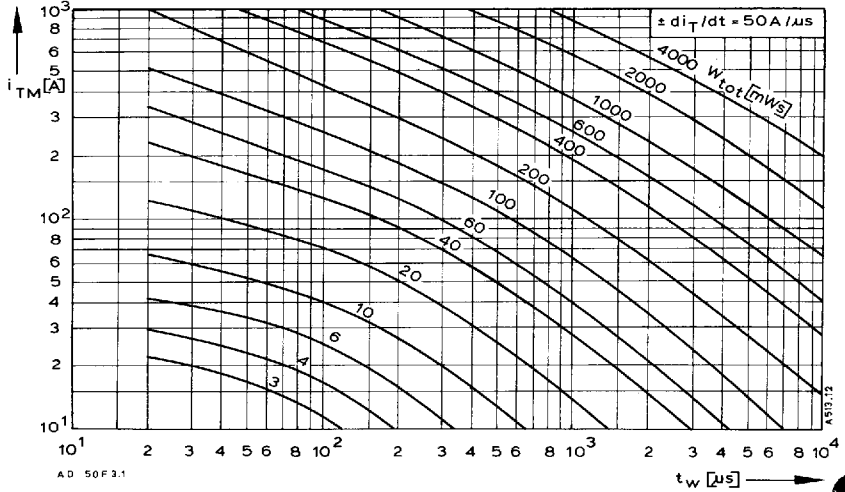
Steuergenerator/Pulse generator:
 $v_L = 10 \text{ V}$, $i_G = 1 \text{ A}$, $t_a = 1 \mu\text{s}$



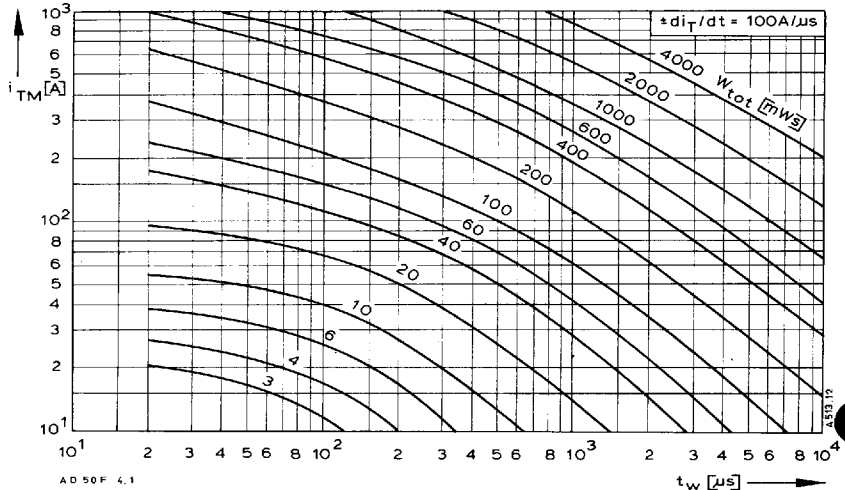
RC-Glied/RC network:
 $R [\Omega] \geq 0.033 \cdot v_{\text{DM}} [\text{V}]$
 $C \leq 0.15 \mu\text{F}$



Bild/Fig. 7



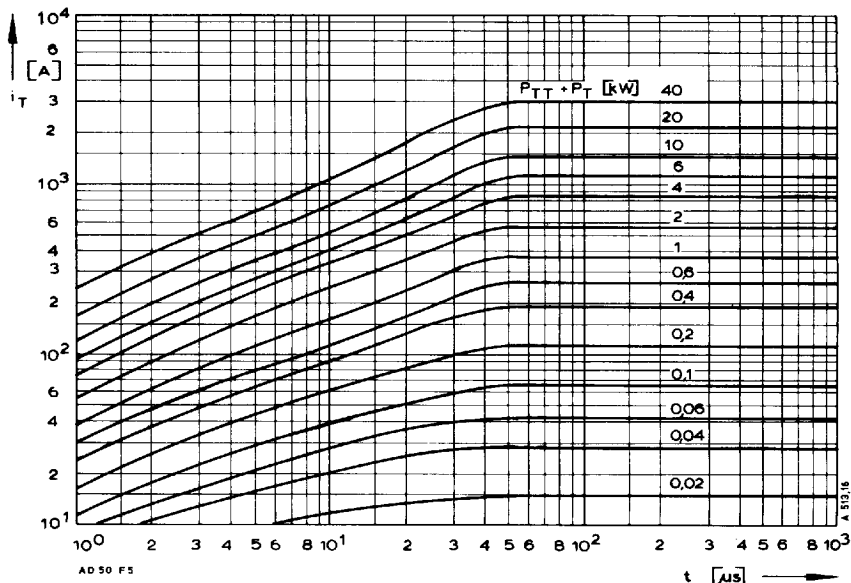
Bild/Fig. 8



Bild/Fig. 9

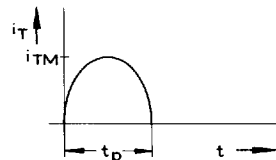
AD 50 F

Bild/Fig. 10
Diagramm zur Ermittlung der Summe aus Einschalt- und Durchlaßverlustleistung ($P_{TT} + P_T$) des Thyristors.
Diagram for the determination of the sum of the turn-on and forward on-state power loss of the thyristor ($P_{TT} + P_T$).

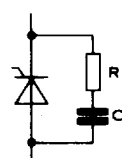


Bild/Fig. 11
Diagramm zur Ermittlung der Gesamtenergie W_{tot} für einen sinusförmigen Durchlaß-Strompuls (Thyristor).
Diagram for the determination of the total energy W_{tot} for a sinusoidal on-state current pulse (Thyristor).

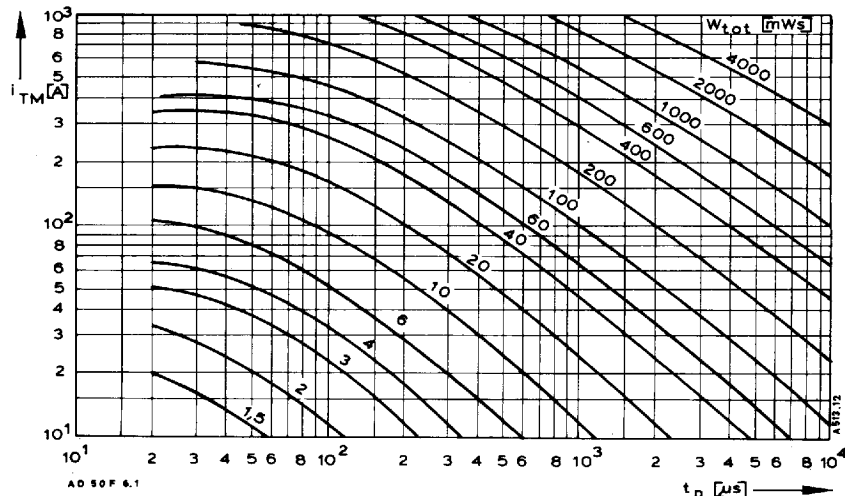
Lastkreis/Load circuit:
 $V_{DM} \leq 0,67 V_{DRM}$,
 $V_{RM} \leq 50 V$



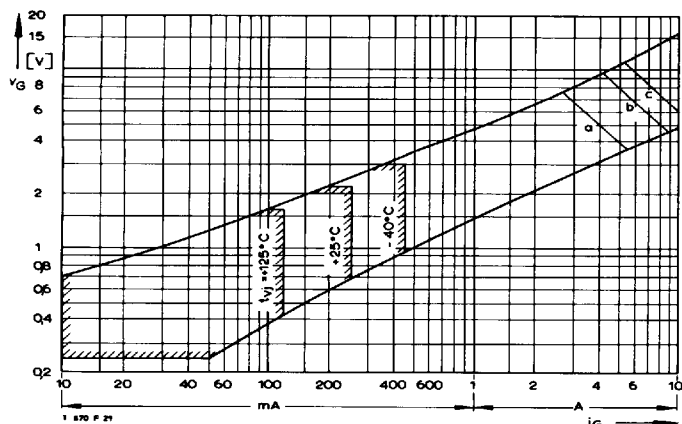
Steuergenerator/Pulse generator:
 $V_L = 10 V$, $i_G = 1 A$, $t_a = 1 \mu s$



RC-Glied/RC network:
 $R [\Omega] \geq 0,033 \cdot V_{DRM} [V]$
 $C \leq 0,1 \mu F$

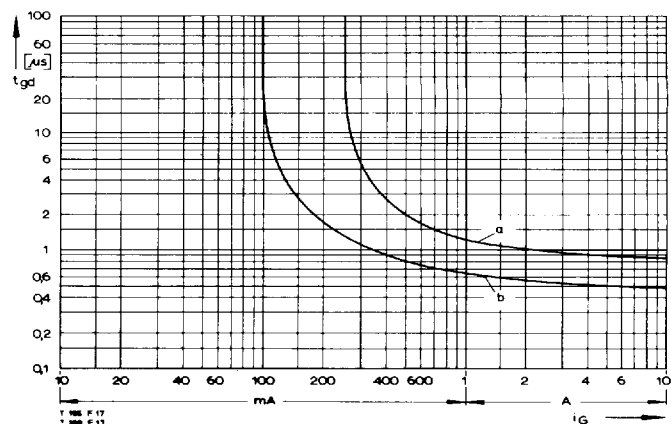


AD 50 F

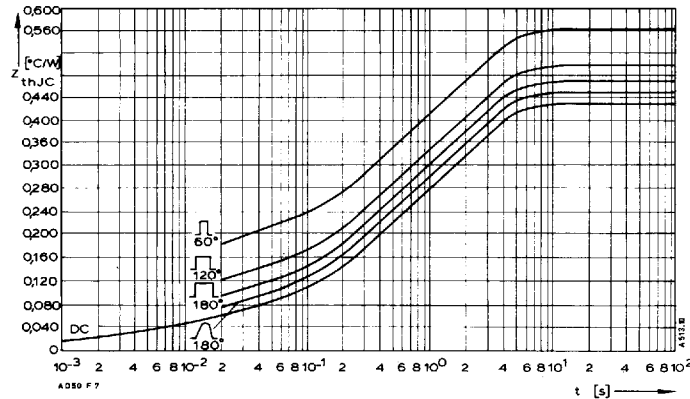


Bild/Fig. 12
Zündbereich und Spitzensteuerleistung bei $V_D = 6$ V.
Gate characteristic and peak gate power dissipation at $V_D = 6$ V.

Parameter:	a	b	c
Steuerimpulsdauer/Pulse duration t_g [ms]	10	1	0,5
Höchstzulässige Spitzensteuerleistung/ Maximum allowable peak gate power [W]	20	40	60



Bild/Fig. 13
Zündverzug/Gate controlled delay time t_{gd} ,
DIN 41787, $t_a = 1 \mu s$, $t_{th} = 25^\circ C$.
a – äußerster Verlauf/limiting characteristic
b – typischer Verlauf/typical characteristic



Bild/Fig. 14
Transienter innerer Wärmewiderstand Z_{thJC} des Thyristors bei sinus- und
rechteckförmigem Stromverlauf.
Transient thermal impedance, junction to case, Z_{thJC} of the thyristor at
sinusoidal and square wave current.

Pos. n	1	2	3	4
R_{thn} [$^\circ C/W$]	0,0233	0,0433	0,134	0,231
τ_n [s]	0,00137	0,0175	0,325	2,11

$$Z_{thJC} = \sum_{n=1}^{n_{\max}} R_{thn} (1 - e^{-t/\tau_n})$$

Transienter Wärmewiderstand Z_{thJC} pro Zweig für DC.
Transient thermal impedance Z_{thJC} per arm for DC.